

Trabalho #6 – COE841

Professor: Ramon Romankevicius Costa

Alunos: André Abido Figueiró

Tiago Bornia de Castro

1. MONTE CARLO LOCALIZATION (MCL)

```
1:   Algorithm MCL( $\mathcal{X}_{t-1}, u_t, z_t, m$ ):  
2:      $\tilde{\mathcal{X}}_t = \mathcal{X}_t = \emptyset$   
3:     for  $m = 1$  to  $M$  do  
4:        $x_t^{[m]} = \text{sample\_motion\_model}(u_t, x_{t-1}^{[m]})$   
5:        $w_t^{[m]} = \text{measurement\_model}(z_t, x_t^{[m]}, m)$   
6:        $\tilde{\mathcal{X}}_t = \tilde{\mathcal{X}}_t + \langle x_t^{[m]}, w_t^{[m]} \rangle$   
7:     endfor  
8:     for  $m = 1$  to  $M$  do  
9:       draw  $i$  with probability  $\propto w_t^{[i]}$   
10:      add  $x_t^{[i]}$  to  $\mathcal{X}_t$   
11:    endfor  
12:    return  $\mathcal{X}_t$ 
```

Tabela 2.1 - Algoritmo do MCL.

O algoritmo de *Monte Carlo Localization* se utiliza de partículas para representarem posições hipotéticas (possíveis estados) do robô, de forma semelhante ao implementado no Trabalho 2. Para cada uma das partículas representativas, aplica-se o **Modelo de Movimentação** do robô, que gera as novas posições hipotéticas conforme o modelo probabilístico adotado para este.

Uma vez calculadas as novas posições, o algoritmo se utiliza do **Modelo de Medição** para estimar as probabilidades associadas a cada nova posição hipotética, utilizando para isto o mapa do ambiente e as medidas realizadas pelo robô. Tais probabilidades são utilizadas como os pesos associados a cada posição.

Em um terceiro passo as partículas são reamostradas conforme o peso de cada uma, de forma a representar a função de distribuição de probabilidade associada à posição do robô.

2. AUGMENTED MONTE CARLO LOCALIZATION (AMCL)

```
1: Algorithm Augmented_MCL( $\mathcal{X}_{t-1}, u_t, z_t, m$ ):  
2:   static  $w_{\text{slow}}, w_{\text{fast}}$   
3:    $\tilde{\mathcal{X}}_t = \mathcal{X}_t = \emptyset$   
4:   for  $m = 1$  to  $M$  do  
5:      $x_t^{[m]} = \text{sample\_motion\_model}(u_t, x_{t-1}^{[m]})$   
6:      $w_t^{[m]} = \text{measurement\_model}(z_t, x_t^{[m]}, m)$   
7:      $\tilde{\mathcal{X}}_t = \tilde{\mathcal{X}}_t + \langle x_t^{[m]}, w_t^{[m]} \rangle$   
8:      $w_{\text{avg}} = w_{\text{avg}} + \frac{1}{M} w_t^{[m]}$   
9:   endfor  
10:   $w_{\text{slow}} = w_{\text{slow}} + \alpha_{\text{slow}}(w_{\text{avg}} - w_{\text{slow}})$   
11:   $w_{\text{fast}} = w_{\text{fast}} + \alpha_{\text{fast}}(w_{\text{avg}} - w_{\text{fast}})$   
12:  for  $m = 1$  to  $M$  do  
13:    with probability  $\max\{0.0, 1.0 - w_{\text{fast}}/w_{\text{slow}}\}$  do  
14:      add random pose to  $\mathcal{X}_t$   
15:    else  
16:      draw  $i \in \{1, \dots, N\}$  with probability  $\propto w_t^{[i]}$   
17:      add  $x_t^{[i]}$  to  $\mathcal{X}_t$   
18:    endwith  
19:  endfor  
20:  return  $\mathcal{X}_t$ 
```

Tabela 3.1 – Algoritmo do Augmented Monte Carlo Localization

O algoritmo de *Augmented Monte Carlo Localization* apresenta uma inovação em relação ao MCL tradicional de forma a aumentar a robustez do algoritmo, solucionando o “problema do robô sequestrado”. O problema em si ocorre quando há uma movimentação do robô não medida pelos seus sensores ou quando se inicia o problema com condições iniciais diferentes das consideradas pelo algoritmo.

Conforme as iterações ocorrem, algoritmo de MCL tende a encontrar uma região de maior probabilidade para a posição do robô, eliminando partículas fora dessa região. Quando ocorre um deslocamento sem que os sensores ou o algoritmo estejam funcionando, é provável que não haja partículas próximas à nova posição do robô, de forma que o algoritmo continua considerando um grande número de partículas em local diverso à nova localização.

De forma a contornar tal problema, o AMCL registra duas médias móveis dos pesos das partículas, sendo uma rápida e outra lenta. Se houver uma mudança significativa nos pesos das partículas em um período de tempo curto, o algoritmo insere partículas com posições

randômicas no conjunto de partículas considerado pelo algoritmo. Desta forma, o algoritmo tende a manter partículas em regiões de baixa probabilidade sempre que a probabilidade da posição do robô estar representada adequadamente apresentar redução.

As Figuras 1 a 3 apresentam a evolução do MCL e do AMCL quando ocorre o problema do robô sequestrado.

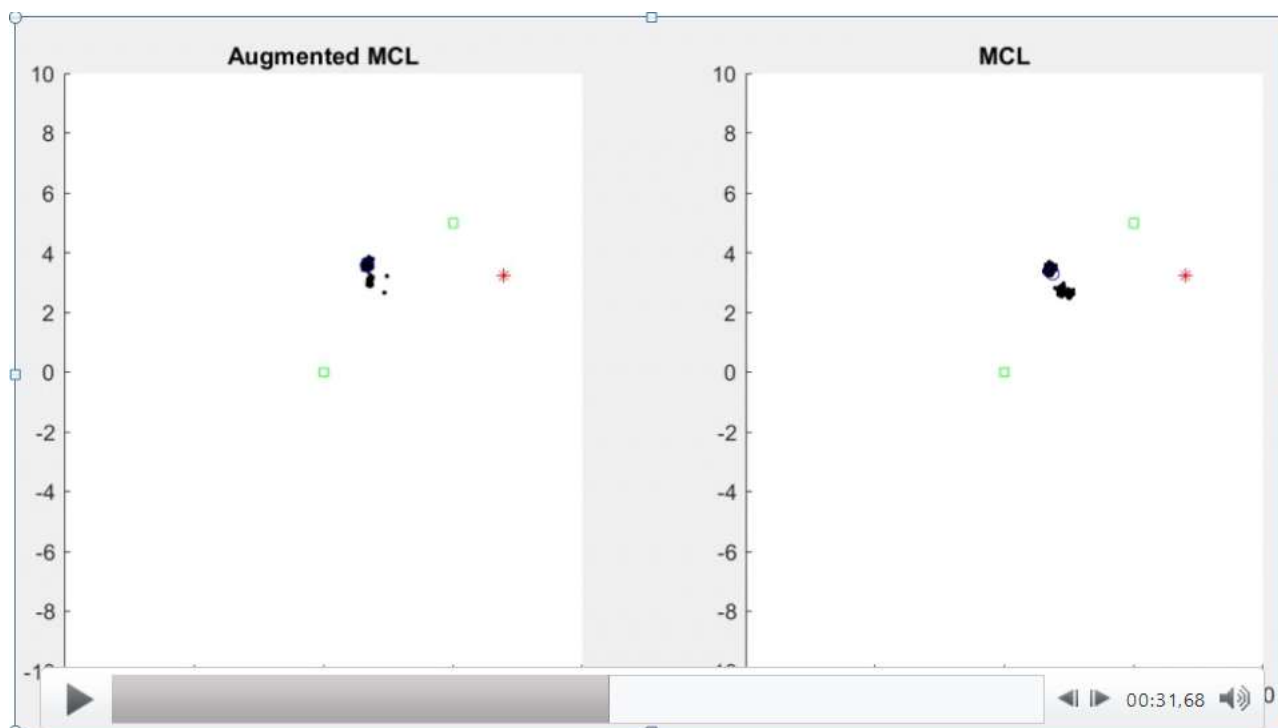


Figura 1: Comparação entre MCL e Augmented MCL. Em verde os landmarks, em vermelho o robô e em preto as partículas.

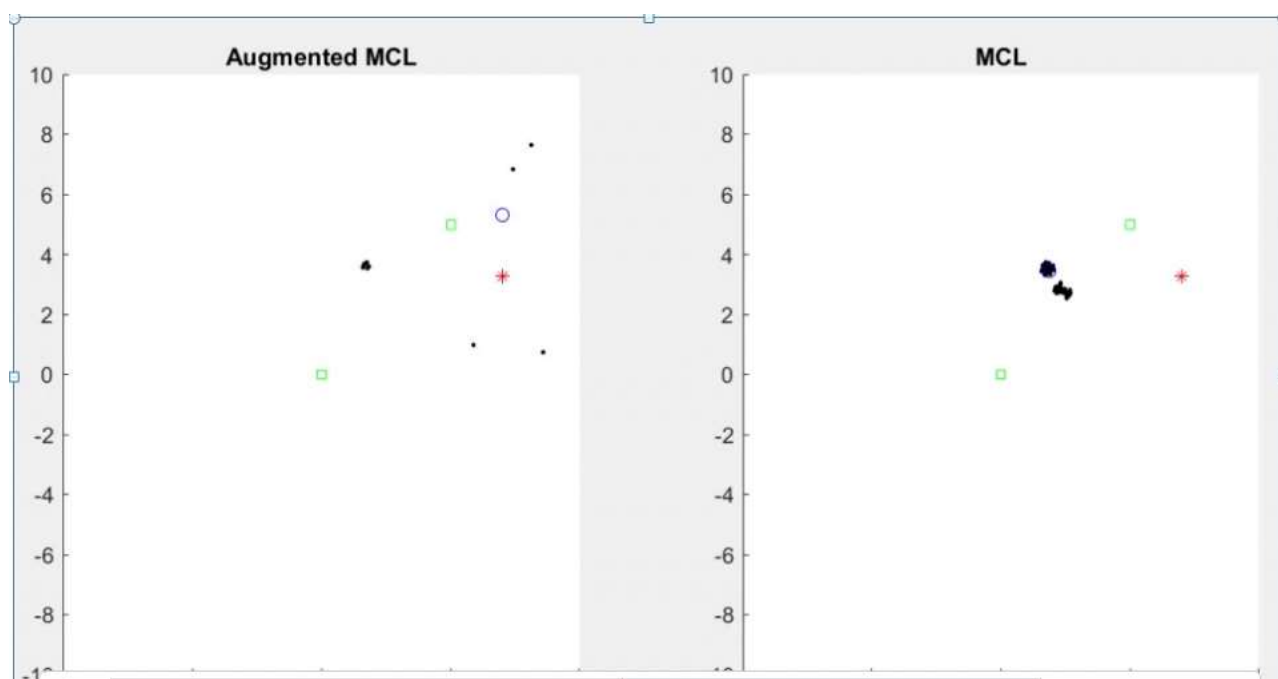


Figura 2: Comparação entre MCL e Augmented MCL. Logo após o robô ser “sequestrado”, o AMCL insere partículas de baixa probabilidade de ocorrência no mapa.

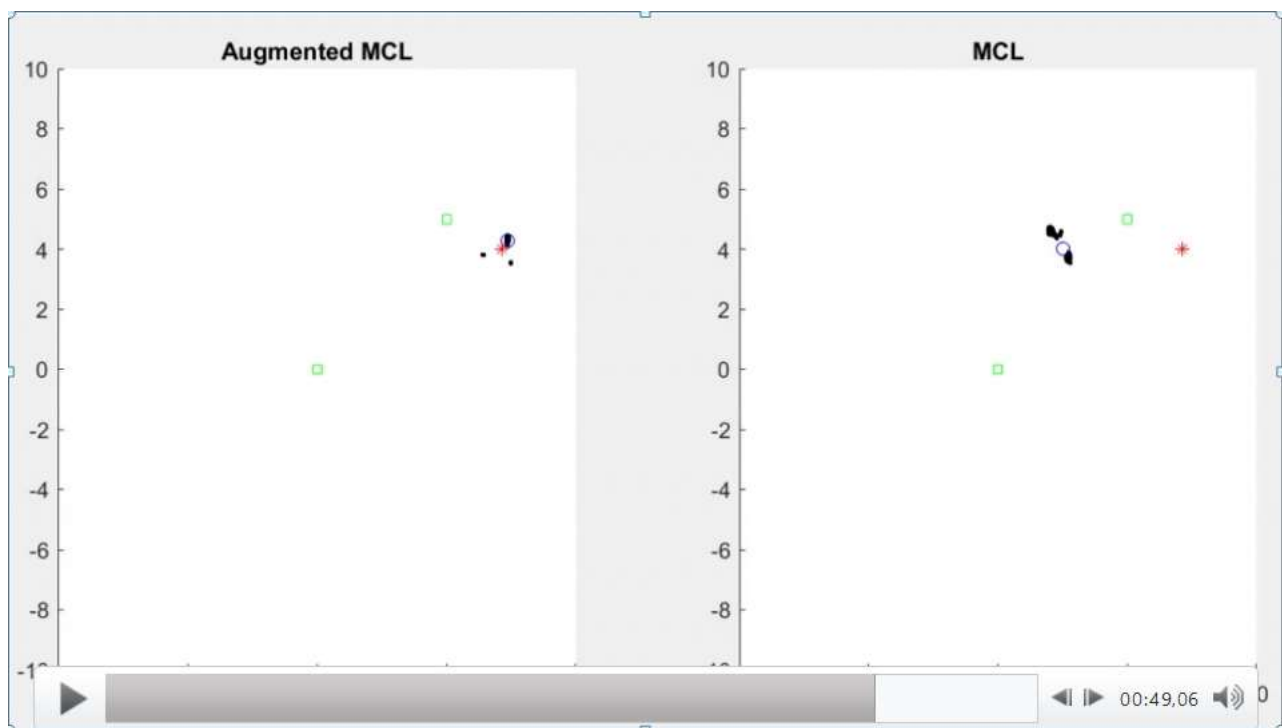


Figura 3: Comparação entre MCL e Augmented MCL. Pouco após o robô ser "sequestrado", o AMCL converge para a região próxima a este.

3. KDL SAMPLING MONTE CARLO LOCALIZATION (KDL SAMPLING MCL)

```

1:   Algorithm KDL_Sampling_MCL( $\mathcal{X}_{t-1}, u_t, z_t, m, \varepsilon, \delta$ ):
2:      $\mathcal{X}_t = \emptyset$ 
3:      $M = 0, M_\chi = 0, k = 0$ 
4:     for all  $b$  in  $H$  do
5:        $b = \text{empty}$ 
6:     endfor
7:     do
8:       draw  $i$  with probability  $\propto w_{t-1}^{[i]}$ 
9:        $x_t^{[M]} = \text{sample\_motion\_model}(u_t, x_{t-1}^{[i]})$ 
10:       $w_t^{[M]} = \text{measurement\_model}(z_t, x_t^{[M]}, m)$ 
11:       $\mathcal{X}_t = \mathcal{X}_t + \langle x_t^{[M]}, w_t^{[M]} \rangle$ 
12:      if  $x_t^{[M]}$  falls into empty bin  $b$  then
13:         $k = k + 1$ 
14:         $b = \text{non-empty}$ 
15:        if  $k > 1$  then
16:           $M_\chi := \frac{k-1}{2\varepsilon} \left\{ 1 - \frac{2}{9(k-1)} + \sqrt{\frac{2}{9(k-1)}} z_{1-\delta} \right\}^3$ 
17:        endif
18:         $M = M + 1$ 
19:      while  $M < M_\chi$  or  $M < M_{\chi_{\min}}$ 
20:    return  $\mathcal{X}_t$ 

```

Tabela 4.1 – Algoritmo KDL Sampling MCL.

O algoritmo de MCL necessita de um grande número de partículas para representar adequadamente a posição do robô, utilizando recursos computacionais preciosos em um sistema embarcado. Por outro lado, após sua execução por um determinado tempo, a grande maioria das partículas tende a se concentrar em uma pequena região, próxima à posição real do robô.

Com a finalidade de reduzir a necessidade de recursos computacionais, a Amostragem KLD permite obter, por meio da distribuição das partículas em histograma, um número adequado de partículas a serem utilizadas em função de sua distribuição.

As figuras de 4 a 6 apresentam a redução do número de partículas conforme a posição destas converge para a posição do robô.

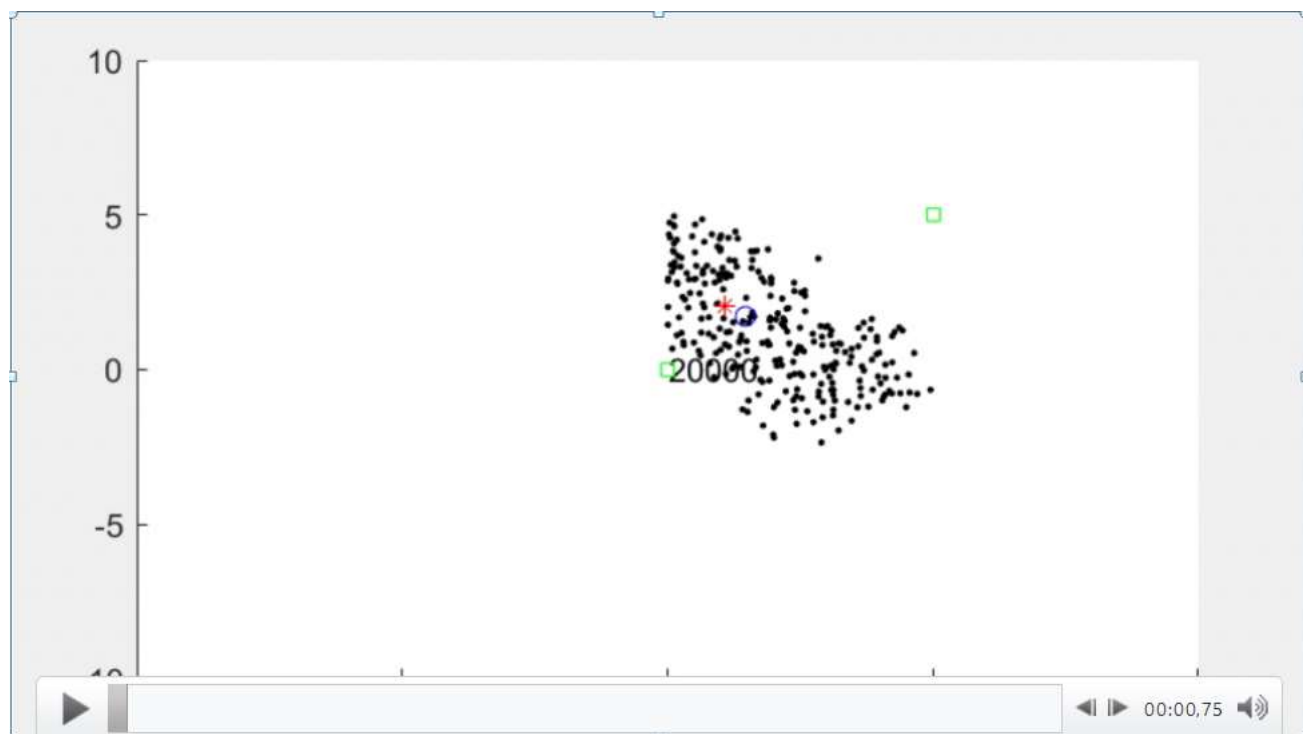


Figura 4: KDL Sampling MCL com número inicial de 20.000 partículas.



Figura 5: KDL Sampling MCL com número inicial de 20.000 partículas

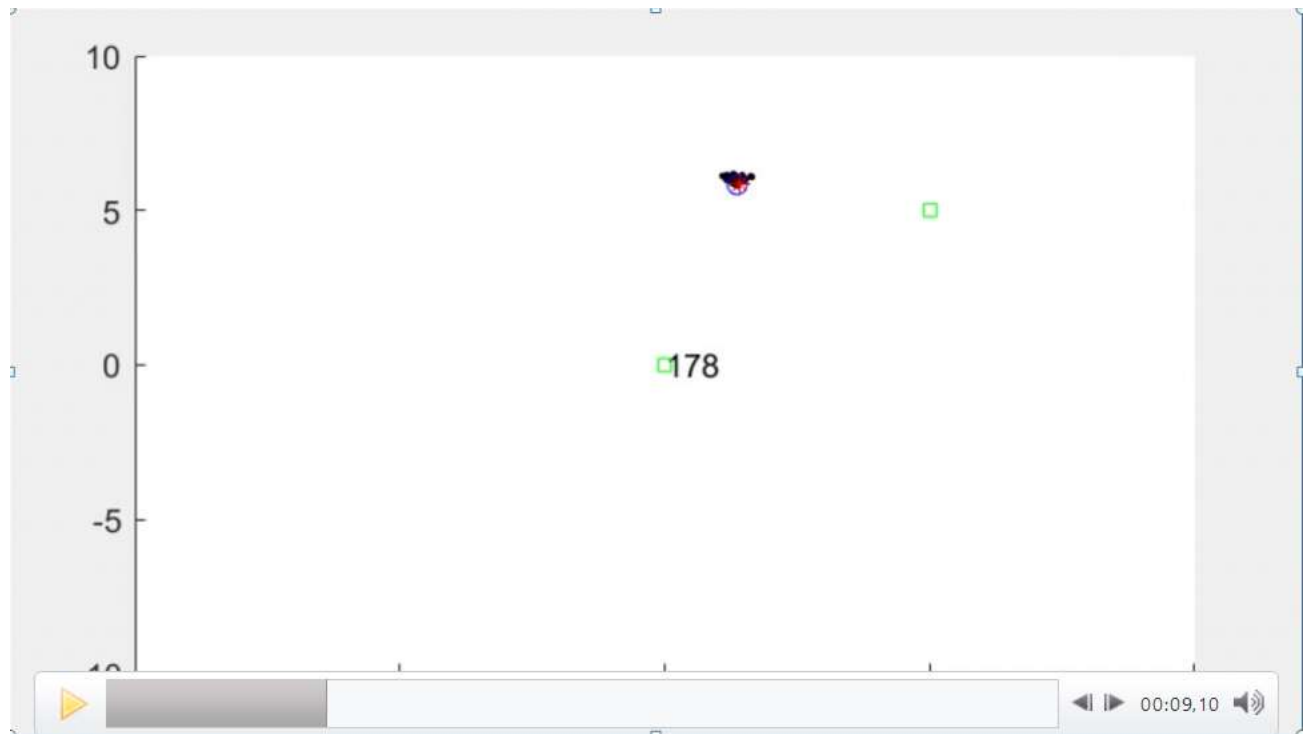


Figura 6: KDL Sampling MCL com número inicial de 20.000 partículas. Nota-se a redução significativa do número de partículas conforme o sistema converge para a região onde encontra-se o robô.

4. GRID LOCALIZATION

```
1: Algorithm Grid_localization( $\{p_{k,t-1}\}, u_t, z_t, m$ ):  
2:   for all  $k$  do  
3:      $\bar{p}_{k,t} = \sum_i p_{i,t-1} \text{ motion\_model}(\text{mean}(\mathbf{x}_k), u_t, \text{mean}(\mathbf{x}_i))$   
4:      $p_{k,t} = \eta \bar{p}_{k,t} \text{ measurement\_model}(z_t, \text{mean}(\mathbf{x}_k), m)$   
5:   endfor  
6:   return  $\{p_{k,t}\}$ 
```

Tabela 1.1 - Algoritmo do Grid Localization.

O Algoritmo de *Grid Localization* aproxima a probabilidade posterior utilizando-se de um filtro de histograma sobre uma decomposição em grade da pose do robô. O filtro discreto de Bayes mantém uma coleção de valores discretos de probabilidade $bel(x_t) = \{p_{k,t}\}$ onde cada probabilidade $p_{k,t}$ é definida sobre uma célula de grade x_k .

A Tabela 1.1 corresponde ao algoritmo do Grid Localization. Ele recebe como entrada os valores de probabilidade discretos $\{P_{k,t-1}\}$, além da medição, controle e o mapa mais recentes. O loop interno itera por todas as células da grade. A linha 3 implementa a atualização do modelo de movimento e a linha 4 a atualização da medição. As probabilidades finais são normalizadas por meio do normalizador η na linha 4. As funções *motion_model* e *measure_model* podem ser implementadas por qualquer um dos modelos de movimento no Capítulo 5 e modelos de medição no Capítulo 6, do livro do Thrun.

A Figura 8.1 ilustra a localização da grade em nosso exemplo de corredor unidimensional. Este diagrama é equivalente ao do filtro Bayes geral, exceto pela natureza discreta da representação. Como antes, o robô começa com a incerteza global, representada por um histograma uniforme. Conforme detecta, as células da grade correspondentes têm seus valores de probabilidade associados incrementados. O exemplo destaca a capacidade de representar distribuições multimodais com o *Grid Localization*.

A implementação foi realizada através de adaptações do código [1]. O modelo de movimento utilizado foi o modelo baseado em odometria. E o modelo de medição foi o Beam Range Finder.

A Figura 1.1 ilustra o mapa da simulação, e a trajetória executada pelo robô.

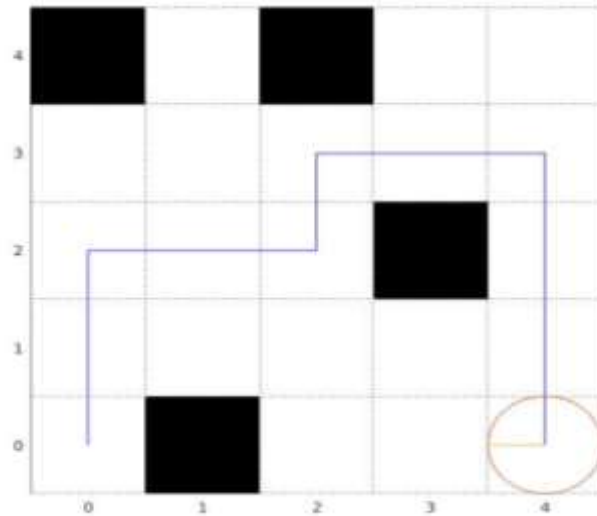


Figura 1.1 – Mapa e Trajetória do Robô

A Figura 1.2 apresenta as probabilidades iniciais de pose para cada ladrilho do mapa. A implementação inicia com uma distribuição uniforme de probabilidade.

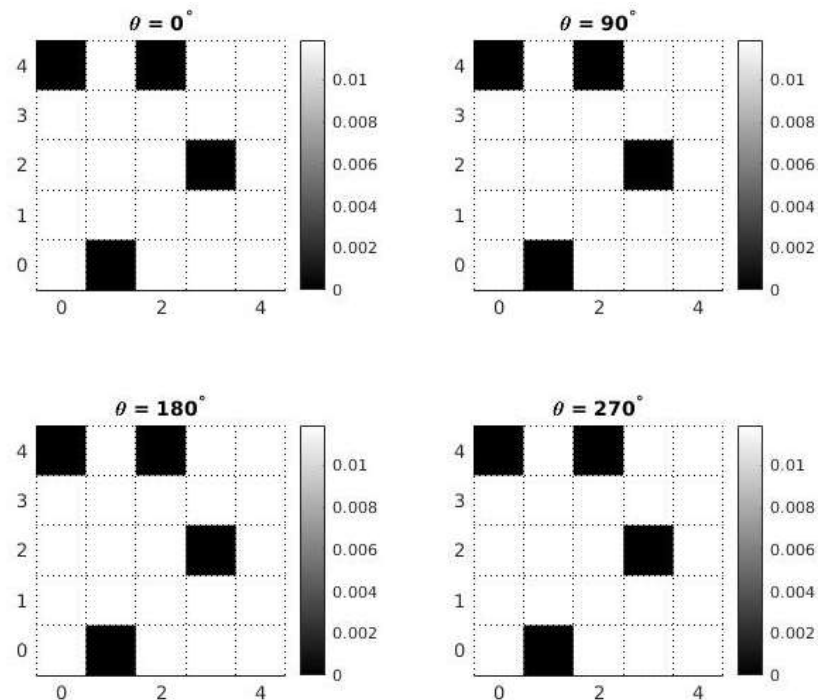


Figura 1.2 – Probabilidades Iniciais do Grid.

A Figura 1.3 mostra a probabilidade de pose atualizada, para cada ladrilho, após a execução de todos os movimentos do robô. Quanto mais clara a cor do ladrilho, maior a probabilidade do robô estar localizado nele.

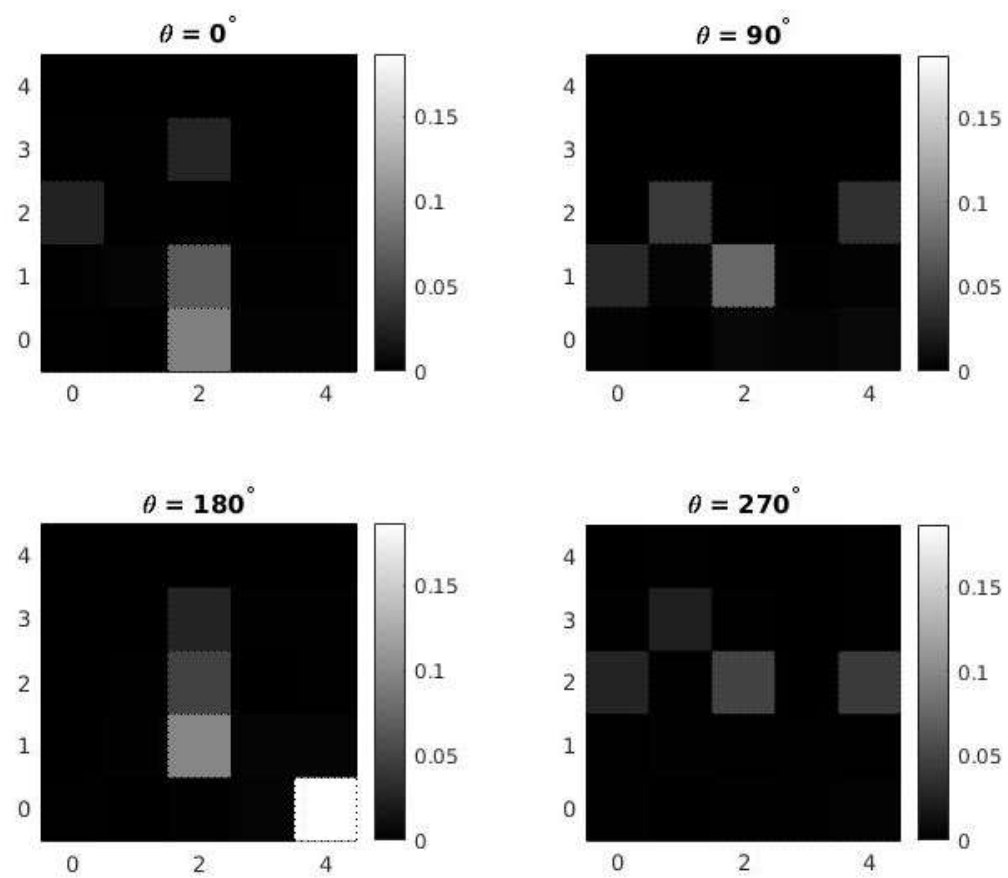


Figura 1.3 – Probabilidades Finais do Grid.

1. TEST RANGE MEASUREMENT

```
1:  Algorithm test_range_measurement( $z_t^k, \bar{\mathcal{X}}_t, m$ ):  
2:       $p = q = 0$   
3:      for  $m = 1$  to  $M$  do  
4:           $p = p + z_{\text{short}} \cdot p_{\text{short}}(z_t^k \mid x_t^{[m]}, m)$   
5:           $q = q + z_{\text{hit}} \cdot p_{\text{hit}}(z_t^k \mid x_t^{[m]}, m) + z_{\text{short}} \cdot p_{\text{short}}(z_t^k \mid x_t^{[m]}, m)$   
6:               $+ z_{\text{max}} \cdot p_{\text{max}}(z_t^k \mid x_t^{[m]}, m) + z_{\text{rand}} \cdot p_{\text{rand}}(z_t^k \mid x_t^{[m]}, m)$   
7:      endfor  
8:      if  $p/q \leq \chi$  then  
9:          return accept  
10:     else  
11:         return reject  
12:     endif
```

Tabela 5.1 – Algoritmo Test Range Measurement.

Este algoritmo lida com ambientes dinâmicos, que incluem situações em que a presença de pessoas pode afetar as medições. A ideia é investigar a causa de uma medição de sensor e rejeitar aqueles que podem ser afetados por dinâmicas ambientais não modeladas. Conforme observado no modelo Beam Range Finder, o termo que envolve z_{short} e p_{short} corresponde a objetos inesperados. As medições que caracterizam objetos inesperados são então rejeitadas.

A Tabela 5.1 descreve o algoritmo Test Range Measurement no contexto de filtros de partículas. Ele recebe como entrada um conjunto de partículas $\bar{\mathcal{X}}_t$ representativo da crença $\overline{\text{bel}}(x_t)$, junto com uma medição de alcance z_t^k e um mapa. Retorna “rejeitar” se com probabilidade maior que χ a medida corresponder a um objeto inesperado; caso contrário, retorna “aceitar”.

Como regra geral, a rejeição de medidas atípicas geralmente é uma boa ideia. Quase não existem ambientes estáticos; mesmo em ambientes de escritório, os móveis são movidos, as portas são abertas / fechadas.

Na implementação fizemos uma adaptação do modelo Beam Range Finder, utilizando a lógica do Test Measurement aplicada à partículas.

A Figura 5.1 ilustra os resultados obtidos. A figura 5.1a apresenta o mapa e a posição real do robô. A Figura 5.1b mostra o conjunto de partículas representando a crença da posição do robô. A Figura 5.1c ilustra as partículas após o uso do filtro, onde as partículas azuis foram rejeitadas e as partículas vermelhas foram aceitas. A Figura 5.1d representa apenas o conjunto com as partículas aceitas.

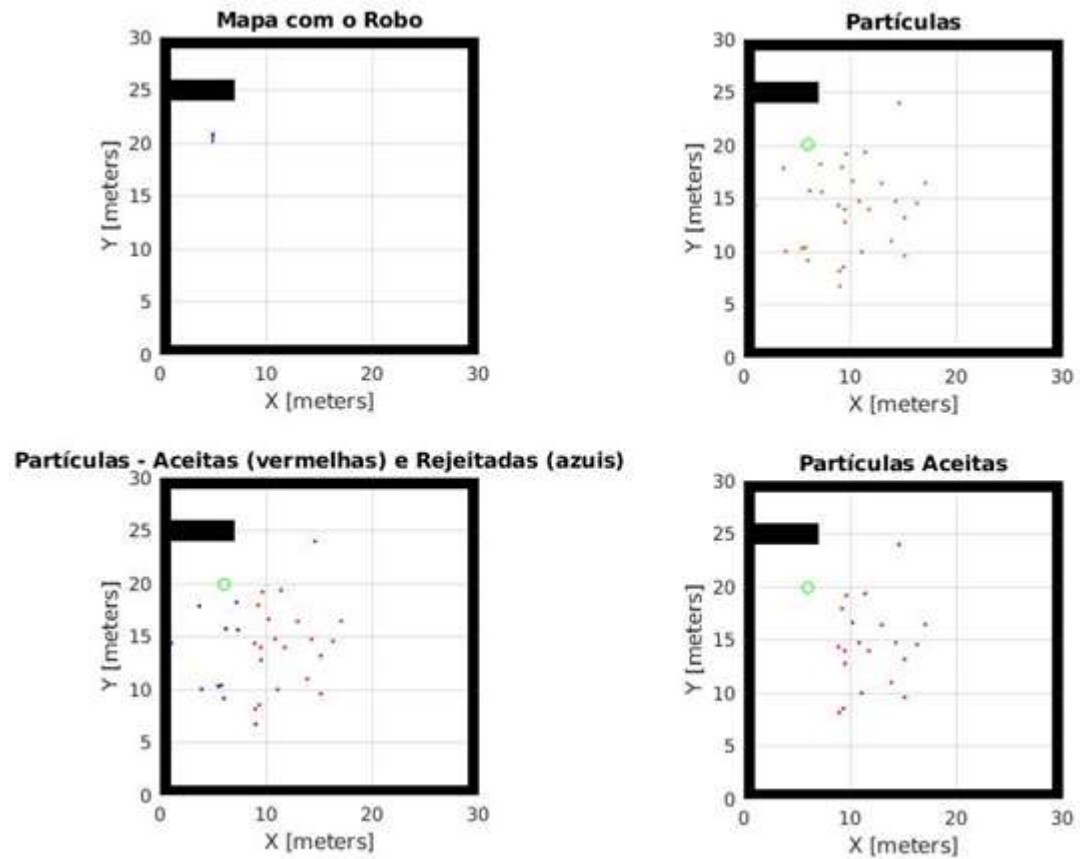


Figura 5.1 – Probabilidades Finais do Grid.

BIBLIOGRAFIA

- [1] <https://github.com/plusk01/grid-localization>.
- [2] Dieter Fox , Adapting the Sample Size in Particle Filters Through KLD-Sampling
- [3] Thrun et al - Probabilistic Robotics